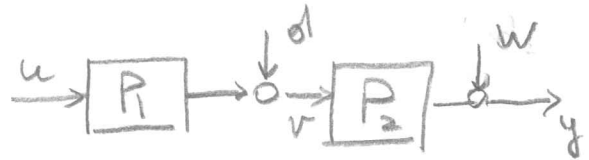


# CONTROLLO IN CASCATA

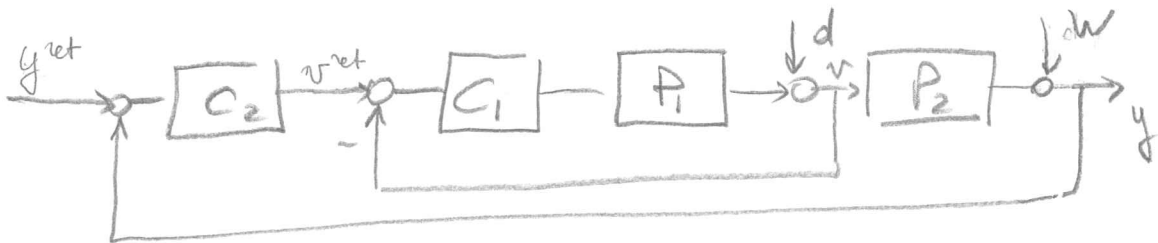
È una strategia di controllo utile quando si devono controllare sistemi a 1 ingresso (1 attuatore) e 2 uscite (2 sensori). Distinguiamo due configurazioni:

## 1) CONFIGURAZIONE SERIE

Supponiamo di avere una serie di due sistemi in cui  $u(t)$  è l'ingresso manipolabile,  $d(t)$  è l'ingresso di disturbo e  $v(t)$ ,  $y(t)$  sono entrambe misurabili.



Consideriamo lo schema di controllo



In questo schema si devono determinare  $C_1(s)$  e  $C_2(s)$  cioè le funzioni di trasferimento dei due controllori. Una strategia semplice per lo scopo di controllo è la seguente:

- 1) Prima determinare  $C_1(s)$  in modo che  $v^{ref}(t) \approx v(t)$ . Una semplice strategia è quella HIGH GAIN cioè prendere  $C_1(j\omega)$  molto grande per gli  $\omega$  tali che  $v^{ref}$  e  $d$  hanno contenuti frequenziali cioè per gli  $\omega$  tali che  $v^{ref}(s)|_{s=j\omega}$  e  $d(s)|_{s=j\omega}$  sono significativamente  $\neq 0$ . (1)

dove  $v^{ret}(s)$  e  $d(s)$  sono le trasformate di Laplace di  $v^{ret}(t)$  e  $d(t)$  (quindi  $v^{ret}(s)|_{s=j\omega}$  e  $d(s)|_{s=j\omega}$  sono le trasformate di Fourier).

Intatti,

$$v(s) = \frac{C_1(s) P_2(s)}{1 + C_1(s) P_1(s)} v^{ret}(s) + \frac{1}{1 + C_1(s) P_1(s)} d(s)$$

Se prendiamo  $s = j\omega$ , allora dove  $v^{ret}(j\omega)$  e  $d(j\omega)$  sono piccoli,  $C_2(j\omega)$  è grande e quindi

$$\frac{C_1(j\omega) P_1(j\omega)}{1 + C_1(j\omega) P_1(j\omega)} \approx \frac{C_1(j\omega) P_1(j\omega)}{C_1(j\omega) P_1(j\omega)} = 1$$

$$\frac{1}{1 + C_1(j\omega) P_1(j\omega)} \approx 0$$

e quindi

$$v(j\omega) \approx v^{ret}(j\omega)$$

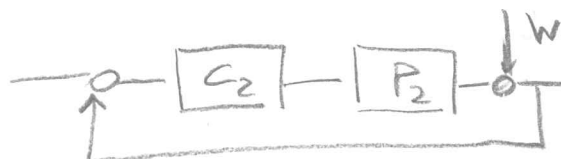
Se  $s = j\omega$  con  $\omega$  tale che  $v^{ret}(j\omega)$  e  $d(j\omega)$  sono piccoli, allora  $v(j\omega)$  è piccolo come lo è anche  $v^{ret}(j\omega)$

$$\text{Quindi } v(j\omega) \approx v^{ret}(j\omega) \Rightarrow v(t) \approx v^{ret}(t)$$

Dato che  $v$  e  $v^{ret}$  sono circa uguali, allora

lo schema precedente si riduce al seguente

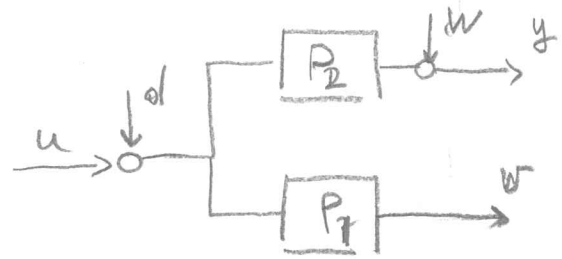
e quindi a questo punto si determina  $C_2$  con



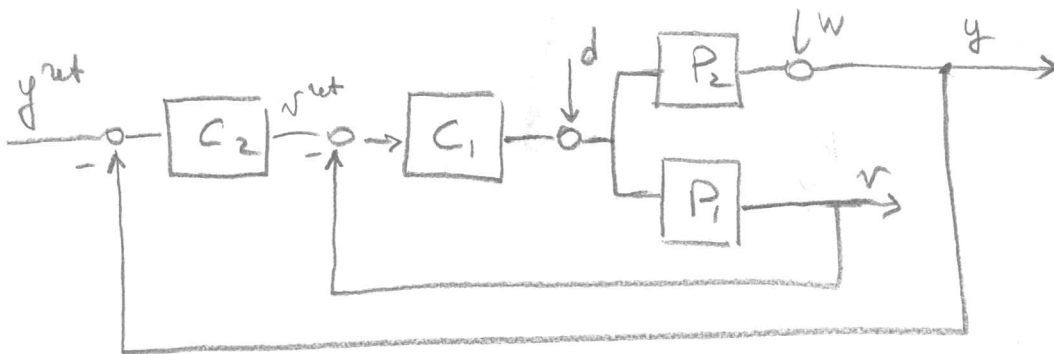
i soliti metodi dei controlli automatici (PID, interi su Bode, luogo delle radici, interi diretti, internal model control, etc) (2)

## 2) CONFIGURAZIONE PARALLELO

Supponiamo che le due usate  $v$  e  $y$  siano collegate all'ingresso  $u$  ottenendo questo schema.



Consideriamo il seguente schema di controllo



Allora

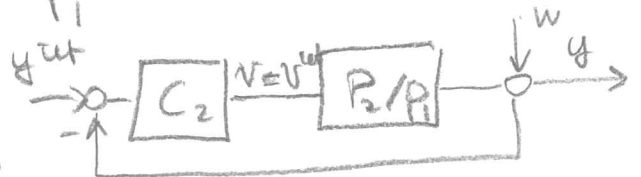
$$v(s) = \frac{C_1 P_1}{1 + C_1 P_1} v^{ref}(s) + \frac{P_2}{1 + C_1 P_1} d(s)$$

Se come nel caso precedente scegliamo  $C_1(s)$  tale che  $|C_1(j\omega)|$  è grande per gli  $\omega$  tali che  $v^{ref}(j\omega)$  e  $d(j\omega)$  sono grandi, allora

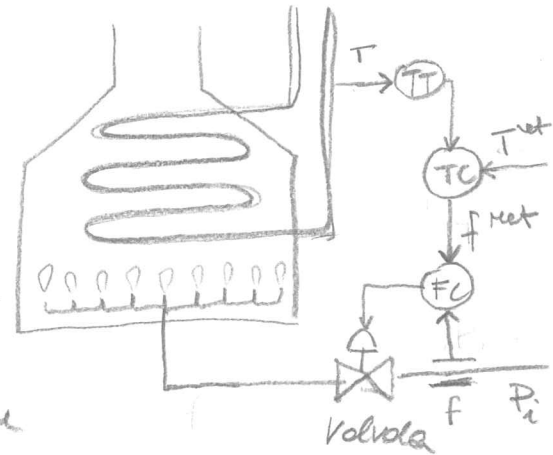
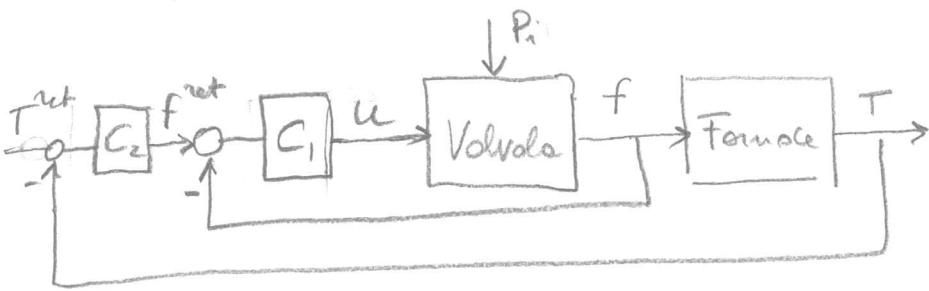
$$v(j\omega) \approx v^{ref}(j\omega) \Rightarrow v(t) \approx v^{ref}(t)$$

$$\Rightarrow y(s) = \frac{P_2}{P_1} v(s) + w(s) \approx \frac{P_2}{P_1} v^{ref}(s) + w(s)$$

Il controllo esterno diventa e quindi  $C_2(s)$  può essere determinato con metodi classici a partire da  $P_2/P_1$



# Esempio: Controllo di temperatura



Lo forno e la valvola modellate

attraverso una funzione di trasferimento  $P_F(s)$

La valvola si modella attraverso l'equazione

$$f(t) = K u(t) \sqrt{\frac{P_i(t) - P(t)}{G}} = F$$

dove  $u(t)$  è la percentuale di apertura della valvola, quindi  $u(t) \in [0, 1]$

- $P_i(t)$  è la pressione prima della valvola
- $P(t)$  è la pressione dopo la valvola
- $f(t)$  è il flusso di gas dopo uscita del forno
- $K, G$  costanti

Per ipotesi si ipotizza che  $P(t)$  sia la pressione atmosferica  $P(t) = \bar{P}$

$$f(t) = K u(t) \sqrt{\frac{P_i(t) - \bar{P}}{G}} = F(u(t), P_i(t)) \quad \text{2 variabili}$$

(ANELLO INTERNO)

Se  $u(t) = \bar{u}$  e  $P_i(t) = \bar{P}_i$  allora

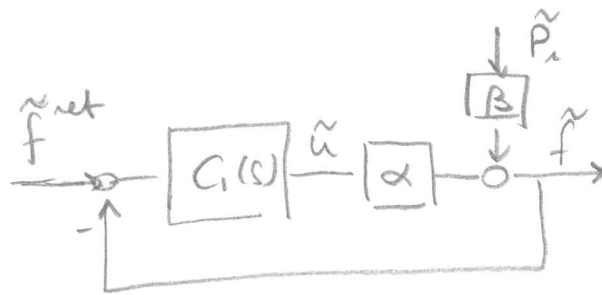
$$\bar{f} \triangleq k \bar{u} \sqrt{\frac{\bar{P}_i - \bar{P}}{G}} = F(\bar{u}, \bar{P}_i)$$

Se  $\tilde{u}(t) = u(t) - \bar{u}$   $\tilde{P}_i(t) = P_i(t) - \bar{P}_i$  e  $\tilde{f}(t) = f(t) - \bar{f}$

Allora

$$\tilde{f}(t) = \frac{\partial F}{\partial u} \tilde{u}(t) + \frac{\partial F}{\partial P_i} \tilde{P}_i(t) = \underbrace{k \sqrt{\frac{\bar{P}_i - \bar{P}}{G}}}_{\alpha} \tilde{u}(t) + \underbrace{\frac{k \bar{u}}{2 \sqrt{G(\bar{P}_i - \bar{P})}}}_{\beta} \tilde{P}_i(t)$$

Prendiamo come  $C_1(s) = \frac{k}{1+s\tau}$  con le frende



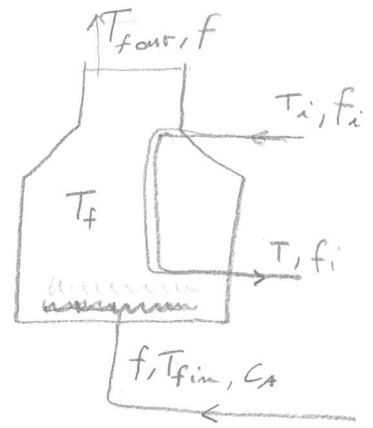
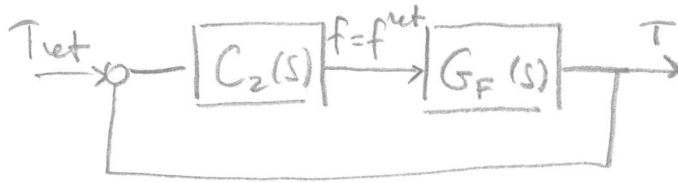
dove  $f^{net}(t) = f^{net}(t) - \bar{f}$

$$W_{f^{net}, \tilde{f}}(s) = \frac{\alpha C_1}{1 + \alpha C_1} = \frac{\alpha k}{1 + \alpha k + s\tau} = \frac{\frac{\alpha k}{1 + \alpha k}}{1 + s \frac{\tau}{1 + \alpha k}} \approx 1$$

$$W_{\tilde{P}_i, \tilde{f}}(s) = \frac{\beta}{1 + \alpha C_1} = \frac{\beta(1 + s\tau)}{1 + \alpha k + s\tau} \approx 0$$

Quindi  $\tilde{f}^{net}(t) \approx \tilde{f}(t) \Rightarrow f^{net}(t) \approx f(t)$

# ANELLO ESTERNO



Determiniamo un modello della fornace

$$P_f V_f \frac{dH_f}{dt} = f H_{f_{in}} - f H_{f_{out}} + hA(T - T_f) + \Delta H C_A f$$

dove  $H_f, H_{f_{in}}, H_{f_{out}}$  sono le entalpie del gas dentro alla fornace, in ingresso e in uscita

- $P_f$  densità del gas nella fornace
- $V_f$  volume fornace
- $hA$  coefficiente di trasmissione termica
- $T_f$  temperatura fornace
- $T$  temperatura del fluido di raffreddamento
- $\Delta H$  coefficiente di reazione di entalpia per reazione chimica
- $C_A$  densità di gas combustibile

$$P_f V_f \frac{dH_f}{dt} = f_i (T_i - T) + hA(T_f - T)$$

Ipotesi  $f H_{f_{in}} - f H_{f_{out}}$  trascurabili rispetto a  $hA(T - T_f) + \Delta H C_A f$

Si ottiene il sistema

$$H_f = C_{Pf} T_f$$

$$H = C_p T$$

$$\left\{ \frac{d}{dt} T_f = \frac{hA}{C_{Pf} P_f V_f} (T - T_f) - \frac{\Delta H C_A}{C_{Pf} P_f V_f} f \right.$$

$$\left. \frac{d}{dt} T = -\frac{f + hA}{PVC_p} T + \frac{hA}{PVC_p} T_f \right. \quad x = \begin{bmatrix} T_f \\ T \end{bmatrix}$$

$$\dot{x} = \underbrace{\begin{bmatrix} -a & a \\ b & -b-c \end{bmatrix}}_A x + \underbrace{\begin{bmatrix} -d \\ 0 \end{bmatrix}}_B f$$

$$T = \underbrace{\begin{bmatrix} 0 & 1 \end{bmatrix}}_C x$$

$$\det(sI - A) = (s+a)(s+b+c) - ab$$

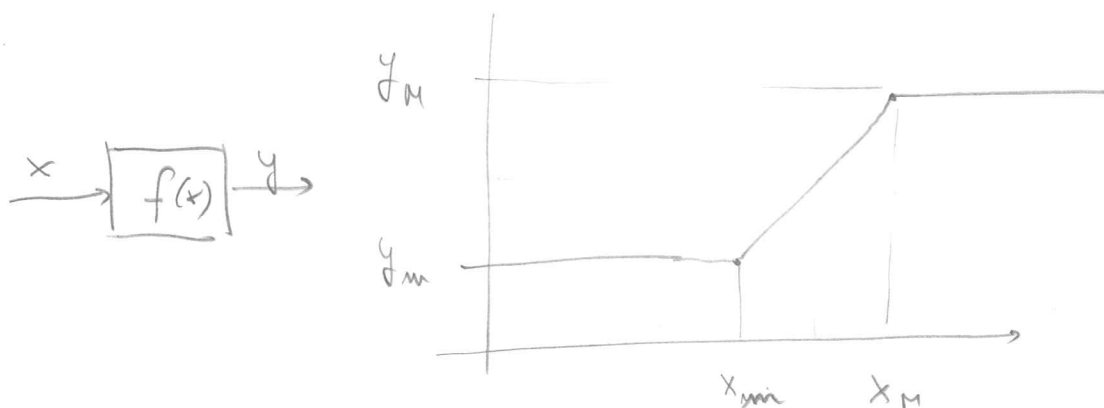
$$= s^2 + s(a+b+c) + ac \quad \text{stabile}$$

$$\underline{W_{f,T}(s) = C(sI - A)^{-1} B} \quad \text{secondo ordine stabile}$$

# WIND-UP E SCHEMI ANTIWIND-UP

Abbiamo notato che in genere sensori e attuatori saturano se gli input sono troppo alti o troppo bassi.

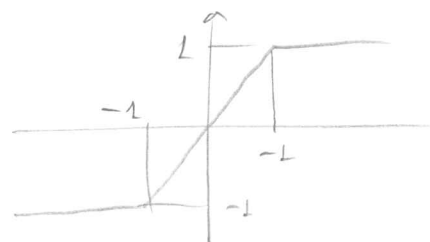
Quindi una migliore descrizione di un sistema con tali limitazioni prevede l'uso di uno schema a blocchi di blocchi di saturazione.



$$f(x) = \begin{cases} y_m & \text{se } x < x_{\min} \\ \frac{y_M - y_m}{x_M - x_{\min}} (x - x_{\min}) + y_m & \text{se } x_{\min} \leq x \leq x_M \\ y_M & \text{se } x > x_M \end{cases}$$

Esiste una versione normalizzata

$$\text{Sat}(x) = \begin{cases} -1 & \text{se } x < -1 \\ x & \text{se } -1 \leq x \leq 1 \\ 1 & \text{se } x > 1 \end{cases}$$



Nota che

$$f(x) = \Delta y \text{ sat} \left( \frac{x - \bar{x}}{\Delta x} \right) + \bar{y} \quad \text{dove}$$

$$\bar{x} = \frac{x_M + x_{\min}}{2}$$

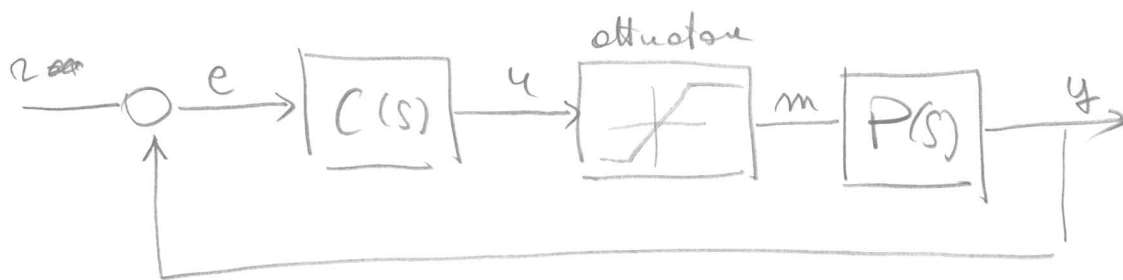
$$\bar{y} = \frac{y_M + y_m}{2}$$

$$\Delta x = \frac{x_M - x_{\min}}{2}$$

$$\Delta y = \frac{y_M - y_m}{2}$$



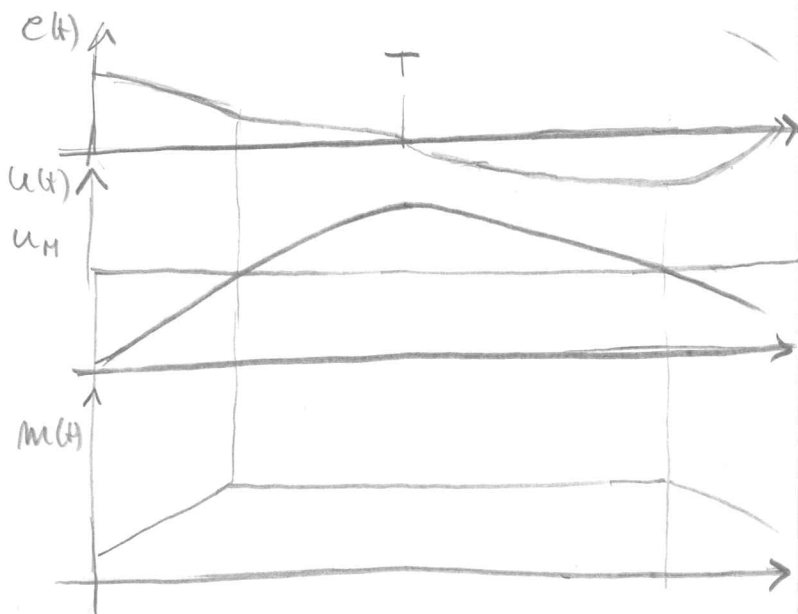
Lo schema di controllo in retroazione con un attuatore avente una saturazione diventa



Se  $C(s)$  ha una parte integrale (Polo nell'origine) questo schema porta dei problemi.

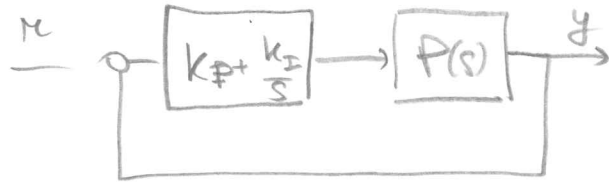
Questo perché se l'errore  $e(t)$  si mantiene dello stesso segno per un lungo periodo (ad esempio rimane  $e(t) > 0$  in  $t \in [0, T]$ ) allora  $u(t)$  tenderà a crescere fino ad andare oltre a  $u_M$ .

Quando  $e(t)$  cambia segno  $u(t)$  tenderà a decrescere ma  $u(t)$  resterà saturato per un periodo e quindi il controllore non reagirà al cambiamento di segno di  $e(t)$  e non debbo che  $u(t)$  sarà saturato sotto lo zero.

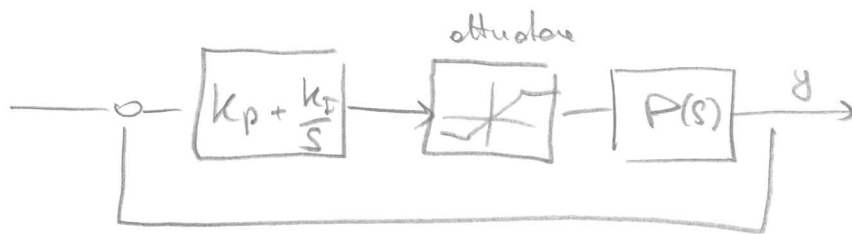


# Schema di saturazione (Anti Wind-UP)

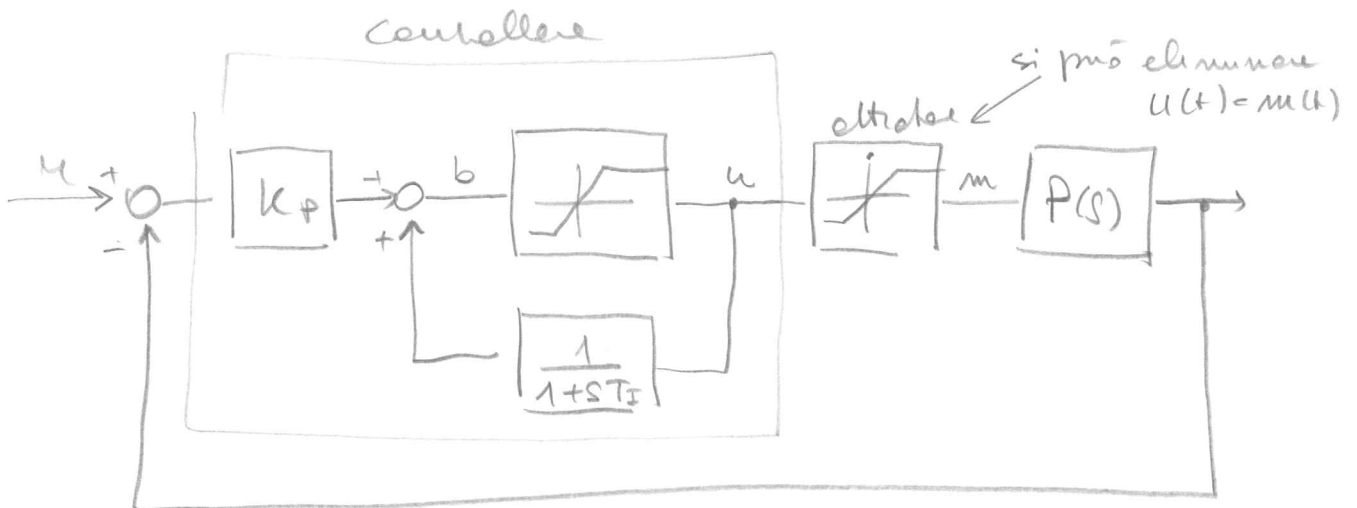
Supponiamo di voler implementare un controllore PI



Ma supponiamo che sull'attuatore operi una saturazione



Consideriamo il seguente schema alternativo



Se  $b \in [b_{min}, b_{max}] \Rightarrow$  la saturazione è come non ci fosse (sat = identità)

$$\text{controllore} = \left[ K_p \right] \times \left[ \frac{1}{1 - \frac{1}{1+sT_i}} \right] = K_p \frac{1}{1 - \frac{1}{1+sT_i}} = K_p \frac{1+sT_i}{s}$$

Per questo schema, se  $e(t)$  resta dello  
stesso segno a lungo, allora  $u(t)$  e  $m(t)$   
saturano, ( $e(t) > 0$ ,  $u(t) = u_M$ ,  $m(t) = u_M$ ,  $b(t) > u_M$ )  
Il blocco  $\frac{1}{1 + sT_I}$  si ha un ingresso

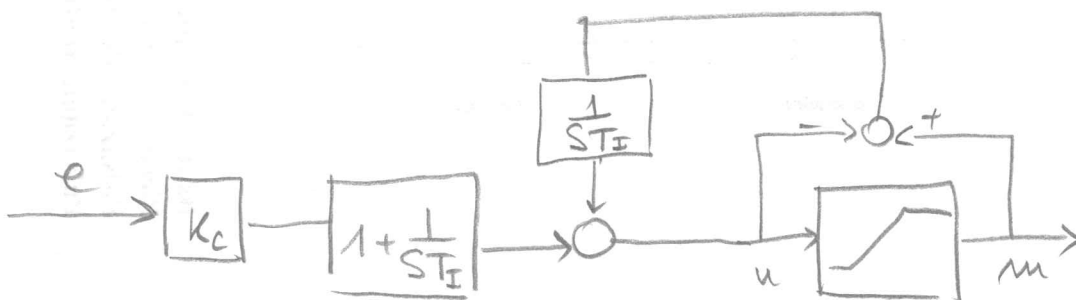
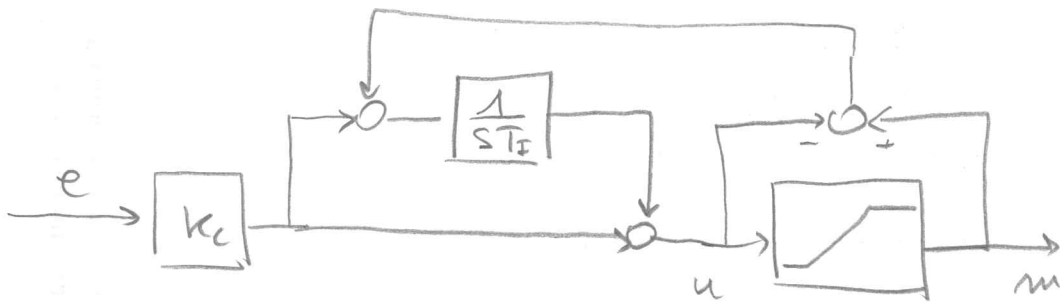
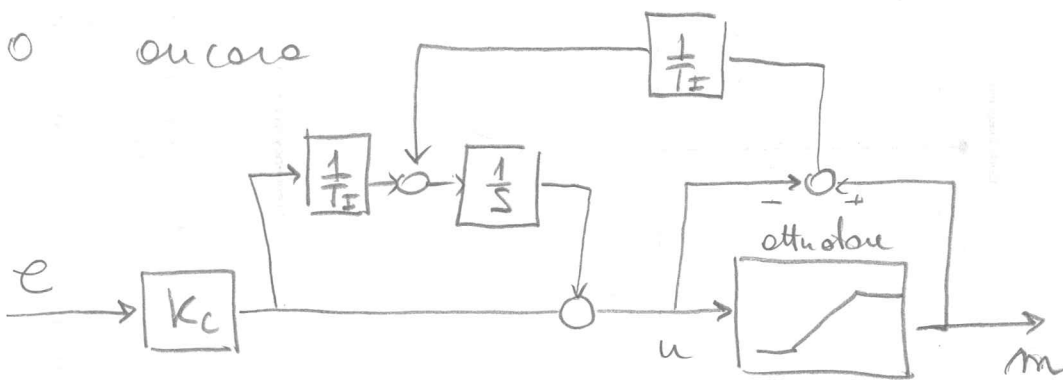
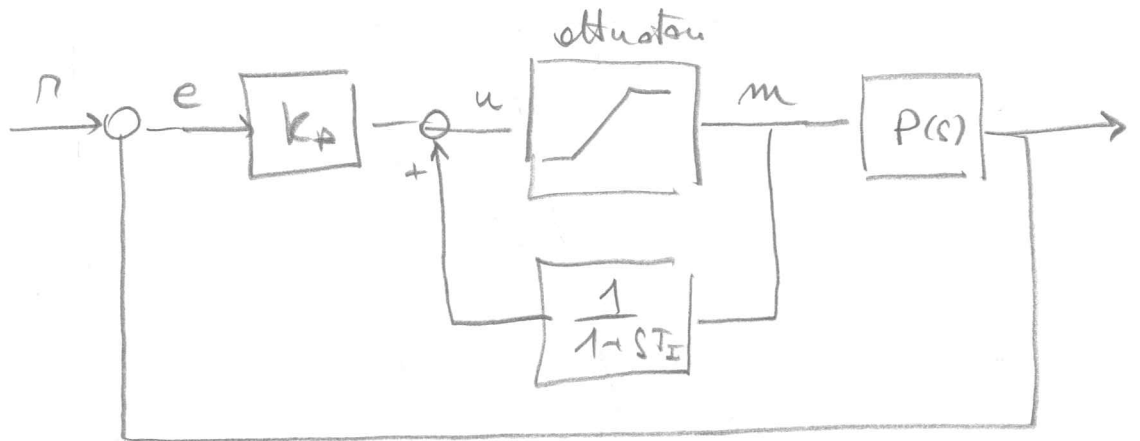
costante  $u(t) = u_M$  e quindi  $z(t) \rightarrow u_M$

e  $b(t) \rightarrow u_M + k e(t)$

Se  $e(t)$  cambia segno ( $e(t) < 0$ ) allora

$b(t)$  diventa minore di  $u_M$  e quindi  
 $m(t) = u(t) = b(t)$  e quindi l'attuatore  
si adeguerà immediatamente

Nota che, se l'uscita dell'attuatore è misurabile lo schema precedente può essere meglio realizzato nel modo seguente



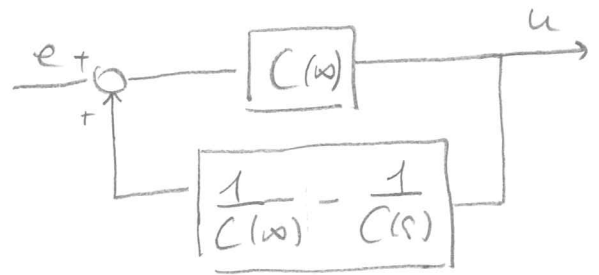
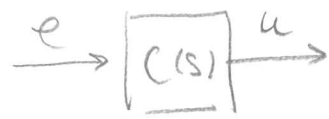
$$u = k_c \left( 1 + \frac{1}{ST_I} \right) e + \frac{1}{ST_I} (m - u)$$

$$\left( 1 + \frac{1}{ST_I} \right) u = k_c \left( 1 + \frac{1}{ST_I} \right) e + \frac{m}{ST_I}$$

equivalente a

$$\Rightarrow u = k_c e + \frac{1}{1+ST_I} m$$

Più in generale, se dobbiamo applicare un controller  $C(s)$ , posto che  $C(s)$  può essere realizzato anche attraverso lo schema seguente



$$\frac{u(s)}{e(s)} = \frac{C(w)}{1 - C(w) \left[ \frac{1}{C(w)} - \frac{1}{C(s)} \right]}$$

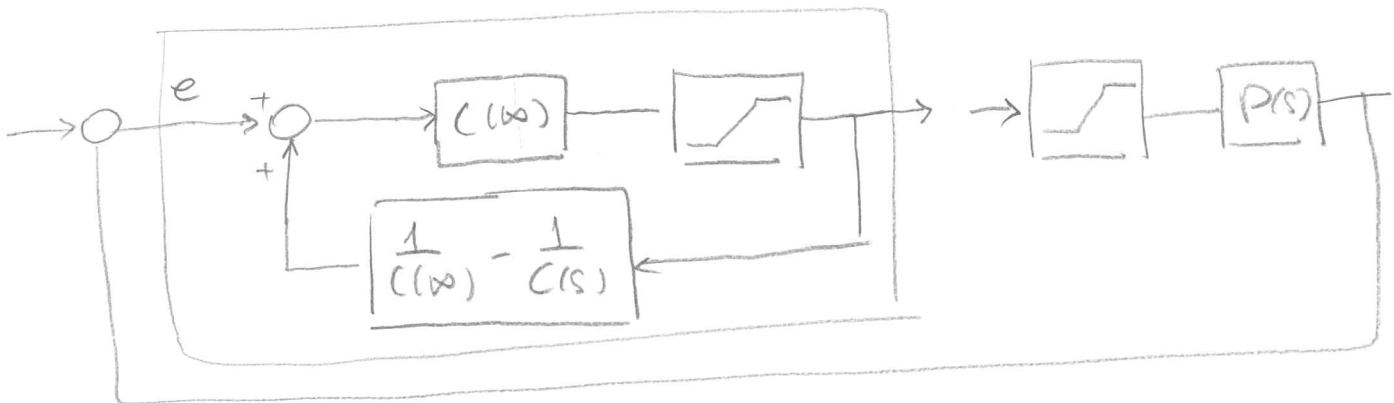
$$= \frac{C(w)}{\frac{1}{C(s)} C(w)} = C(s)$$

grado numeratore  
grado denominatore  
↑

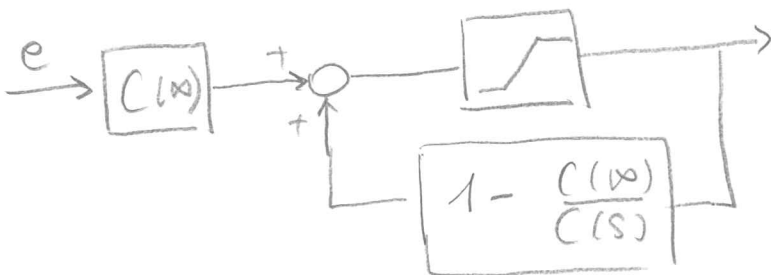
IPOTESI:  $C(s)$  stabile e a zero minima

proprio  
e non stret.  
proprio

Lo schema di desaturazione è



o equivalentemente



Esempio  $C(s) = k_p \frac{1 + T_I s}{s}$  PI

$$1 - \frac{C(w)}{C(s)} = 1 - \frac{k_p T_I}{k_p \frac{1 + T_I s}{s}} = 1 - \frac{T_I s}{1 + T_I s} = \frac{1 + T_I s - T_I s}{1 + T_I s} = \frac{1}{1 + T_I s}$$